

# 高斯平面歷險記

## 高中組數學科第二名

省立台中一中

作者：陳之望、陳孟竹

指導教師：馬立礎、陳聰輝

### 一、研究動機

於四十三期牛頓雜誌上的一篇「碎形幾何學之美」，引起我們極大的興趣，尤其在於牛頓法與方程式之複數根以及夢幻般美妙圖形之關係。以下便是我們的探討。

### 二、研究過程

(一)碎形 ( Fractal ) :

在高斯平面上我們將逼近不同根 ( 以牛頓法 ) 之複數以不同的顏色標出，如此畫出的圖形稱為碎形圖，一般而言， $n$  次方程式有  $n$  個顏色分別佔有高斯平面。

(二)曲面的形成：

在高斯平面上方造一曲面使得在根之處有極小值，同時我們以水往低處流的精神找根。

於三度空間中定義曲面  $Z$  :  $Z = | f ( x + yi ) |^2$  。我們之所以冠上平方是因為如此恰可除掉令人討厭的根號。

$x - y$  平面表高斯平面，顯然若  $f(\alpha) \in \mathbb{R} [ \alpha ]$  則曲面  $Z$  對  $x - z$  平面對稱。

1. 在  $x - y$  平面上取一直線  $t$  過點  $( x_0 , y_0 , 0 )$ ，其方向向量為  $\vec{u} = ( \cos \theta , \sin \theta , 0 )$ 。設一包含此直線且平行  $z$  軸之平面在曲面  $z$  上割出一曲線，如下圖：

$$\text{則此曲線之導式爲：} \frac{dz}{dt} = \frac{\partial z}{\partial x} \cdot \frac{dx}{dt} + \frac{\partial z}{\partial y} \cdot \frac{dy}{dt}$$

$$= \frac{\partial z}{\partial x} \cos \theta + \frac{\partial z}{\partial y} \sin \theta \dots (2-1 \text{ 式})$$

$$(\because x = x_0 + t \cos \theta, \\ y = y_0 + t \sin \theta)$$

$$\text{令 } \nabla z = \left( \frac{\partial z}{\partial x}, \frac{\partial z}{\partial y} \right),$$

$$\vec{u} = (\cos \theta, \sin \theta),$$

$$\frac{dz}{dt} = \nabla z \cdot \vec{u}$$

故  $\vec{u}$  和  $\nabla z$  同向時， $\frac{dz}{dt}$  有極大值，換句話說，此方向最為傾斜。

若一直順著最陡處往下走必可走至山谷（或者切平面為水平處），假設目前位置在高斯平面之投影為  $\alpha_k$ ，則下一步位置在高斯平面之投影為：

$$\alpha_{k+1} = \alpha_k - \frac{\Delta \ell}{\left| \frac{\partial z}{\partial x} + \frac{\partial z}{\partial y} i \right|} \cdot \left( \frac{\partial z}{\partial x} + \frac{\partial z}{\partial y} i \right) \dots (2-2 \text{ 式})$$

$\Delta \ell$  之意義相當於「步伐在高斯平面投影之大小」，當  $\Delta \ell$  取得愈小，則遞迴的極限愈接近某個山谷（或者切平面為水平處）在高斯平面的投影。

2. 因根所在處使  $Z = |f(x + yi)|^2 = 0$ ，且  $Z$  恆  $\geq 0$ ，故根必是山谷。在一元  $n$  次方程式中，若依此方法已找到  $n$  個使  $Z = 0$  的山谷，可知我們已解出此方程式所有的根。但上述方法當  $\Delta \ell$  取得太小時甚費時，且有可能逼近其他非根的地方（即  $Z \neq 0$  且切平面是水平的地方）。因此做了如下的改良：

假設目前在曲面  $Z$  上的位置為  $P_j (x_j, y_j, z_j)$ ，我們過點  $P_j$  找一條最傾斜的切線，延長交  $x - y$  平面於  $Q_{j+1} (x_{j+1},$

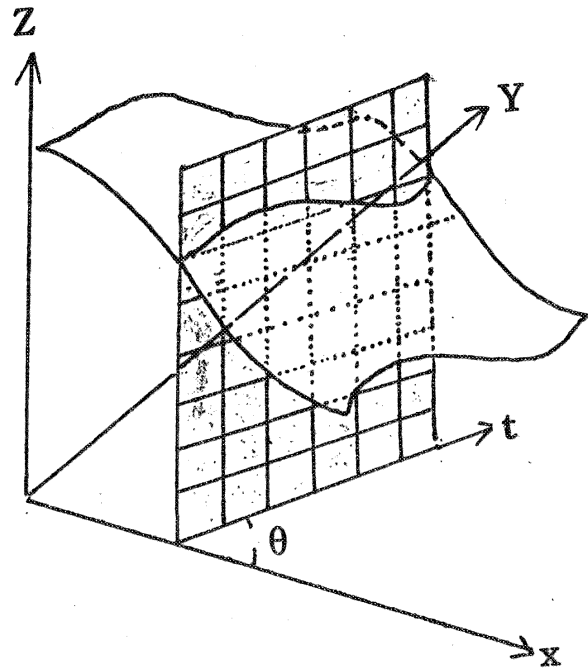


圖 一

$y_{j+1}, 0$ ), 再從  $Q_{j+1}$  作平行  $Z$  軸之線交曲面  $Z$  於  $P_{j+1} (x_{j+1}, y_{j+1}, z_{j+1})$ , 作為新的位置。一直重複上述步驟。

令  $g_x = \frac{\partial z}{\partial x}$ ,  $g_y = \frac{\partial z}{\partial y}$ , 因此假設此切線方向向量為  $(g_x, g_y, g_z)$  因此三向量:  $(1, 0, g_x)$ 、 $(0, 1, g_y)$ 、 $(g_x, g_y, g_z)$  共切平面

$$\text{故 } \begin{vmatrix} 1 & 0 & g_x \\ 0 & 1 & g_y \\ g_x & g_y & g_z \end{vmatrix} = 0 \quad g_z = g_x^2 + g_y^2 \dots\dots\dots (2-3 \text{ 式})$$

$$\text{故此切線方程式爲: } \begin{cases} x = x_j + g_x s \\ y = y_j + g_y s \\ z = z_j + g_z s \end{cases}$$

與  $x-y$  平面交點  $(x_j - \frac{z_j}{g_z} g_x, y_j - \frac{z_j}{g_z} g_y, 0)$

令  $\alpha_j = x_j + y_j i$ , 則:

$$\begin{aligned} \alpha_{j+1} &= \alpha_j - \frac{z_j}{g_z} (g_x + i g_y) = \alpha_j - \frac{z_j (g_x + i g_y)}{(g_x + i g_y)(g_x - i g_y)} \\ &= \alpha_j - \frac{z_j}{g_x - i g_y} \dots\dots\dots (2-4 \text{ 式}) \end{aligned}$$

(三) (2-4 式) 和牛頓法的關係:

(2-4 式) 初看之下與牛頓法極為相似:  $x_{j+1} = x_j - \frac{f(x_j)}{f'(x_j)}$

。若將實數  $x$  拓展為  $\alpha \in \mathbb{C}$ , 那麼  $\frac{z}{g_x - i g_y}$  和  $\frac{f(\alpha)}{f'(\alpha)}$  之關係為何?

1. 為方便, 記  $A = A(x, y)$ ,  $B = B(x, y)$ ,  $A_x = \frac{\partial A(x, y)}{\partial x}$

$A_y = \frac{\partial A(x, y)}{\partial y}$ ,  $B_x$ 、 $B_y$  類同。令  $\alpha = x + yi$ ,  $x, y \in \mathbb{R}$

$$f(\alpha) = f(x + yi) = A + iB \quad \therefore Z = A^2 + B^2$$

$$\therefore g_x = \frac{\partial z}{\partial x} = 2AA_x + 2BB_x, \quad g_y = \frac{\partial z}{\partial y} = 2AA_y + 2BB_y$$

$$\begin{aligned} \text{又 } A_y + iB_y &= \frac{\partial f(x+yi)}{\partial y} = \frac{df(\alpha)}{d\alpha} \cdot \frac{\partial \alpha}{\partial y} = f'(\alpha) \cdot i \\ &= (A_x + iB_x) \cdot i = -B_x + iA_x \end{aligned}$$

得  $\begin{cases} A_y = -B_x \\ B_y = A_x \end{cases} \dots\dots\dots (3-1 \text{ 式})$

故  $\begin{cases} g_x = 2AA_x + 2BB_x \\ g_y = 2A_xB - 2AB_x \end{cases} \dots\dots\dots (3-2 \text{ 式})$

$$\begin{aligned} \frac{Z}{g_x - ig_y} &= \frac{A^2 + B^2}{2[(AA_x + BB_x) - i(A_xB - AB_x)]} \\ &= \frac{(A + Bi)(A - Bi)}{2(A_x + iB_x)(A - iB)} = \frac{A + Bi}{2(A_x + iB_x)} \\ &= \frac{f(\alpha)}{2f'(\alpha)} \end{aligned}$$

∴ (2-4 式) 和牛頓法的關係為：

$$\alpha_{j+1} = \alpha_j - \frac{z_j}{g_x - ig_y} \equiv \alpha_{j+1} = \alpha_j - \frac{f(\alpha_j)}{2f'(\alpha_j)} \dots (3-3 \text{ 式})$$

若將 Z 定義成  $Z = |f(x+yi)|$  則  $\frac{z_j}{g_x - ig_y} = \frac{f(\alpha_j)}{f'(\alpha_j)}$ 。如此我們便找到了複數下牛頓法的幾何意義。

2. 考慮此最陡切線： $L \equiv \frac{x-x_j}{g_x} = \frac{y-y_j}{g_y} = \frac{kz_j - z_j}{g_z}$  直觀上  $0 \leq k < 1$  都可逼近根，例如當  $k = 1/2$  即相當於在切線段長的  $1/2$  處作一次遞迴。

令  $m = \frac{1}{1-k}$ ， $z = |f(x+yi)|$ ， $\alpha_j = x_j + y_j i$ ，則：

$$\alpha_{j+1} = \alpha_j - \frac{z_j (g_x + ig_y)}{\frac{1}{1-k} g_z} = \alpha_j - \frac{f(\alpha_j)}{mf'(\alpha_j)}$$

故當  $m \geq 1$  時都有合理的直觀解釋。根據實驗，在  $m \geq 1$  時，若  $m$  愈大則殘形愈小而趨於消失，顏色之間的分野也愈平滑和清晰。此分野即為後謂之邊界。在  $0 < m < 1$  時， $\alpha$  將不規則亂跳。而當  $m < 0$  時，因  $k > 1$ ，相當於「沿最陡的切線向上

遞迴」，通常將愈跑愈遠。

3. 將  $z = |f(x + yi)|$  定義的話，根所在之山谷將是無切平面之尖山谷。為使曲面  $z$  平滑，此後  $z$  的意義將採用  $z = |f(x + yi)|^2$ 。

(四) 朱利亞集合：

以牛頓法反覆計算却不接近根的複數所成之集合，其成員為：

1. 非根但切平面水平之處：

這類使  $g_x = g_y = 0$ ， $z \neq 0$ ，由 (3-3 式) 可知  $\frac{f(\alpha)}{f'(\alpha)}$  必無意義，若假設  $f(\alpha) = 0$  和  $f'(\alpha) = 0$  無共根，則  $f(\alpha_j) \neq 0$  且  $f'(\alpha_j) = 0$ 。反之，若  $f'(\alpha_j) = 0$  且  $f(\alpha_j) \neq 0$  則遞迴式必找不到對應的  $\alpha_{j+1}$ ，幾何意義是在該點找不到切線會和高斯平面相交，而在一曲面上亦唯有這類點有這性質。

設  $f(x)$  是  $n$  次多項式，因  $f'(x)$  是  $n-1$  次，故這類點至多有  $n-1$  個。因此，在曲面  $z$  上絕不會有平山脊、平山溝、高原、平原等地形，因為在這些地形都有無限多地點使切平面水平。同時，我們在此也提供了找非根但切平面為水平之處之方法，即解  $f'(\alpha) = 0$  之根且不使  $f(\alpha) = 0$ 。

2. 循環數：

依遞迴式得數列  $\alpha_0 \alpha_1 \cdots \alpha_k \cdots$ ，若  $\alpha_0 = \alpha_k$  且  $k$  是最小的整數則稱  $\alpha_0$  是  $k$  次循環數。顯然，若  $\alpha_k = \alpha'_k$ ，則  $\alpha_{k+j} = \alpha'_{k+j}$ ，故  $\alpha_0$  是某次循環數則  $\alpha_0$  不是其他次循環數。

3. 遞迴至非根但切平面水平處之複數：

依遞迴式得數列  $\alpha_0 \alpha_1 \cdots \alpha_{k-1} \alpha_k$ 。但  $f(\alpha_k) \neq 0$  且  $f'(\alpha_k) = 0$ 。稱  $\alpha_0$  為  $k$  次遞迴數。我們提供一個找  $k$  次遞迴數有效的方法：

- (1) 依照 1. 所提的方法找非根但切平面為水平之處所對應之複數  $\alpha_0$ 。

- (2) 解  $\alpha_1$  使  $\alpha_1 - \frac{f(\alpha_1)}{2f'(\alpha_1)} = \alpha_0$ ， $\alpha_1$  即為一次遞迴數，此時  $k$

= 1。

(3) 解  $\alpha_{k+1}$  使  $\alpha_{k+1} - \frac{f(\alpha_{k+1})}{2f'(\alpha_{k+1})} = \alpha_k$ ， $\alpha_{k+1}$  即為  $k+1$  次遞

迴數。重複此步驟。

4. 不循環、不逼近任何數的數：

此數的存在和個數都是疑問，留給有志之士探求。

例： $f(\alpha) = \alpha^3 - 1$

$$\begin{cases} \alpha_0 = 0.5386086725 + 0.4172044837 i \\ \alpha_1 = 0.5386086725 - 0.4172044837 i \end{cases}$$

$$\begin{cases} \alpha_0 = -0.6306140177 + 0.2578465512 i \\ \alpha_1 = 0.9200534524 + 0.6750510349 i \end{cases}$$

$$\begin{cases} \alpha_0 = -0.6306140177 - 0.2578465512 i \\ \alpha_1 = 0.9200534524 - 0.6750510349 i \end{cases}$$

以上遞迴之結果為  $\langle \alpha_0 \alpha_1 \alpha_0 \alpha_1 \dots \dots \rangle$

(五) 分辨非根而切平面為水平之處之地形：

簡記  $g_{xx} = \frac{\partial g_x}{\partial x}$ ， $g_{yy} = \frac{\partial g_y}{\partial y}$ 。由偏微分定理  $g_{xy} = g_{yx}$

(2-1 式) 對  $t$  微分得：

$$\frac{d^2 z}{dt^2} = \frac{1}{2} [ (g_{xx} - g_{yy}) \cos 2\theta + 2g_{xy} \sin 2\theta ]$$

$$\text{故 min} = \frac{(g_{xx} + g_{yy}) - \sqrt{(g_{xx} - g_{yy})^2 + 4g_{xy}^2}}{2}$$

$$\text{max} = \frac{(g_{xx} + g_{yy}) + \sqrt{(g_{xx} - g_{yy})^2 + 4g_{xy}^2}}{2}$$

簡記  $A_{xx} = \frac{\partial A_x}{\partial x}$ ， $A_{xy} = \frac{\partial A_x}{\partial y}$ ， $A_{yy} = \frac{\partial A_y}{\partial y}$ ， $B_{xx}$ 、 $B_{xy}$ 、 $B_{yy}$

類同。

$$A_{xx} + iB_{xx} = \frac{\partial f'(\alpha)}{\partial x} = f''(\alpha)。由(3-1 式)、(3-2 式)$$

化簡(5-1 式)

$$\frac{1}{2} g_{xx} = A_x^2 + B_x^2 + AA_{xx} + BB_{xx}$$

$$\frac{1}{2} g_{yy} = A_x^2 + B_x^2 - AA_{xx} - BB_{xx}$$

$$\frac{1}{2} g_{xy} = \frac{1}{2} g_{yx} = A_{xx}B - AB_{xx}$$

$$\begin{aligned} \text{故 } \min &= 2 \left[ (A_x^2 + B_x^2) - \sqrt{(A^2 + B^2)(A_{xx}^2 + B_{xx}^2)} \right] \\ &= 2(A_x^2 + B_x^2) - 2|f(\alpha)| \cdot |f''(\alpha)| \end{aligned}$$

$$\begin{aligned} \text{max} &= 2 \left[ (A_x^2 + B_x^2) + \sqrt{(A^2 + B^2)(A_{xx}^2 + B_{xx}^2)} \right] \\ &= 2(A_x^2 + B_x^2) + 2|f(\alpha)| \cdot |f''(\alpha)| \end{aligned}$$

因切平面水平故  $A_x = B_x = 0$ ，故極大極小值互相異號。我們知道若極小值為負且極大值為正則此切平面水平之處必是鞍點，因而不禁猜測是否非根但切平面水平之處必是鞍點，對於曲面  $Z$  等高圖之觀察更加強此信念。

以下將證明：若某點使  $Z \neq 0$  且 1, 2, …,  $m-1$  階導數為零而  $m$  階導數不為零，該點有  $m$  葉向上  $m$  葉向下。

假設  $f(\alpha) \neq 0$  而一階導數為零，二階導數不為零，依泰勒展開式

$$f(\alpha + s) = f(\alpha) + \frac{s^2}{2i} f''(\alpha) + \frac{s^3}{3i} f'''(\alpha) + \dots + \frac{s^n}{ni} f^{(n)}(\alpha)$$

因  $\lim_{s \rightarrow 0} \frac{f(\alpha + s)}{f(\alpha) + \frac{s^2}{2i} f''(\alpha)} = 1$  故可找到夠小的  $s$  使：

$$f(\alpha + s) \div f(\alpha) + \frac{s^2}{2i} f''(\alpha)$$

因  $f(\alpha) \neq 0$  故可找到一圓使圓心為原點，半徑為  $|f(\alpha)|$ 。令  $s = re^{i\theta}$ ， $r$  夠小而  $\theta$  由零到  $2\pi$  連續變化。當  $\theta$  由零到  $\pi$  則  $f(\alpha + s)$  相當於以  $f(\alpha)$  為圓心畫圓，半徑為  $\frac{r^2}{2i} |f''(\alpha)|$ 。顯然這一小圈和剛才所畫的圓有二交點。因此，若  $\theta$  由零到  $2\pi$  連續變化，凡是比  $|f(\alpha)|$  高之部分將出現二次，低部分亦如是，換句話說，有二葉向上二葉向下。

同法可證明完全此定理。

(六) 陡線和邊界：

1. 考慮 (2-2 式) 的幾何意義，得知曲面  $Z$  上任意起始位置遞迴到

最後一定在距離切平面水平之處約  $\Delta l$  之處，因此若  $\Delta l$  趨於零則 (2-2 式) 之極限應為根山谷或鞍點。假設  $\alpha_j$  為曲面  $Z$  上一點  $p_j$  在高斯平面的投影，則  $p_0 p_1 p_2 \dots$  形成一折線，當  $\Delta l$  趨於零成為一平滑曲線，定義為陡線。特稱過鞍點的陡線為邊界。陡線除了在根所在之山谷或鞍點外絕不相交，因為除了這些點以外的點皆僅有一個最陡方向。因此沒有陡線會越過邊界。

2. 為方便，以下所謂之陡線或邊界乃指其在高斯平面上之投影觀察圖二可知當  $f(\alpha + s)$  和  $f(\alpha)$  同向時， $|f(\alpha + s)| - |f(\alpha)|$  有極大或極小。由(五)的討論知此時  $\frac{s^m}{m!} f^{(m)}(\alpha) = kf(\alpha)$ ， $k > 0$ 。凡使  $s^m = k' \frac{f(\alpha)}{f^{(m)}(\alpha)}$ ， $k' > 0$  的  $s$  的方向即為邊界的方向，其中  $\alpha$  為鞍點在高斯平面上的投影。我們藉 (2-2 式) 可畫出陡線，更可由上式及反程序  $\beta_{k+1} = \beta_k \frac{\Delta l (g_x + i g_y)}{|g_x + i g_y|}$  由鞍點出發畫出邊界。

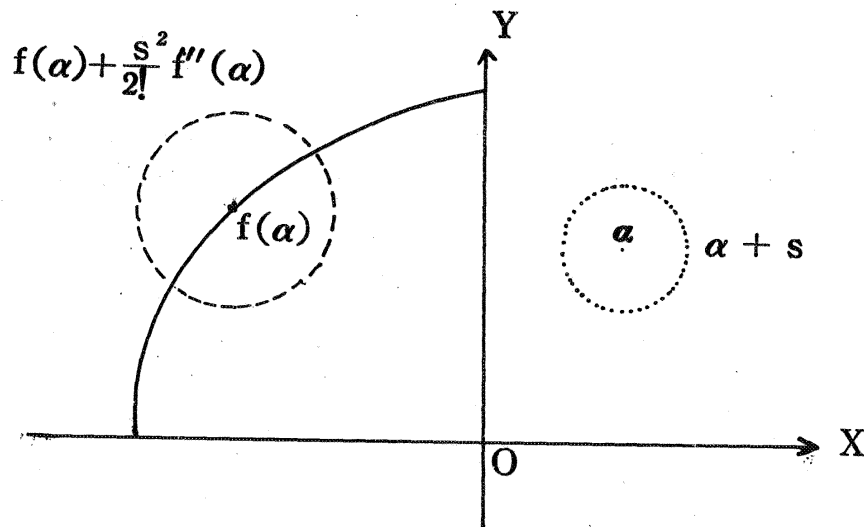


圖 二

3. 在高斯平面上定義一向量場  $E(\alpha) = \frac{f(\alpha)}{f'(\alpha)}$ ，由上之討論知其方向為過  $\alpha$  之陡線在  $\alpha$  的切線方向。至於大小，通常  $\alpha$  愈近鞍點在高斯平面的投影，其值愈大，因為在鞍點附近切平面都相當水平，最陡的切線的切線段長必然不短。
4. 邊界分割了高斯平面為數個區域。當位置  $\alpha$  在邊界附近時，常



越過邊界而跑到別的區域，因而趨近非本區域內的根，同樣的事也會發生在越界的複數，可以想見的是在邊界附近一定顏色雜布，此即碎形。

(七)邊界的相交：

邊界之相交與否似乎決定兩種形態的碎形，我們無法證明此推測雖然它適用我們所有的實例。因此我們轉而研究邊界相交的條件：

1. 想像一動點在某陡線上，位置是  $\alpha$ ，速度是  $\frac{f'(\alpha)}{f(\alpha)}$ ，因切線方向是速度方向，則：

$$\frac{d\alpha}{dt} = \frac{f'(\alpha)}{f(\alpha)}, \quad t \in \mathbb{R} \text{ 相當於時間, } \alpha \in \mathbb{C} \text{ 相當於位置}$$

$$\therefore \frac{f'(\alpha)}{f(\alpha)} d\alpha = dt \Rightarrow \int_{\alpha_1}^{\alpha_2} \frac{f'(\alpha)}{f(\alpha)} d\alpha = \int_0^t dt$$

$$\Rightarrow \ln \frac{f(\alpha_2)}{f(\alpha_1)} = t + 2k\pi i$$

$$\Rightarrow \frac{f(\alpha_2)}{f(\alpha_1)} = e^t > 0$$

故若  $\alpha_2$  在過  $\alpha_1$  的陡線上則  $\frac{f(\alpha_2)}{f(\alpha_1)} > 0$ 。換句話說，若  $\frac{f(\alpha_2)}{f(\alpha_1)}$

不是實數或小於等於零則  $\alpha_2$  不在過  $\alpha_1$  的陡線上。

2. 考慮所有任意兩個鞍點投影  $\alpha_2$  和  $\alpha_1$ ，若符合上述條件，則  $\alpha_2$  不在過  $\alpha_1$  的邊界。又因邊界之交點必是鞍點，換句話說，過  $\alpha_2$  的邊界和過  $\alpha_1$  的邊界不相交。（如下頁圖）

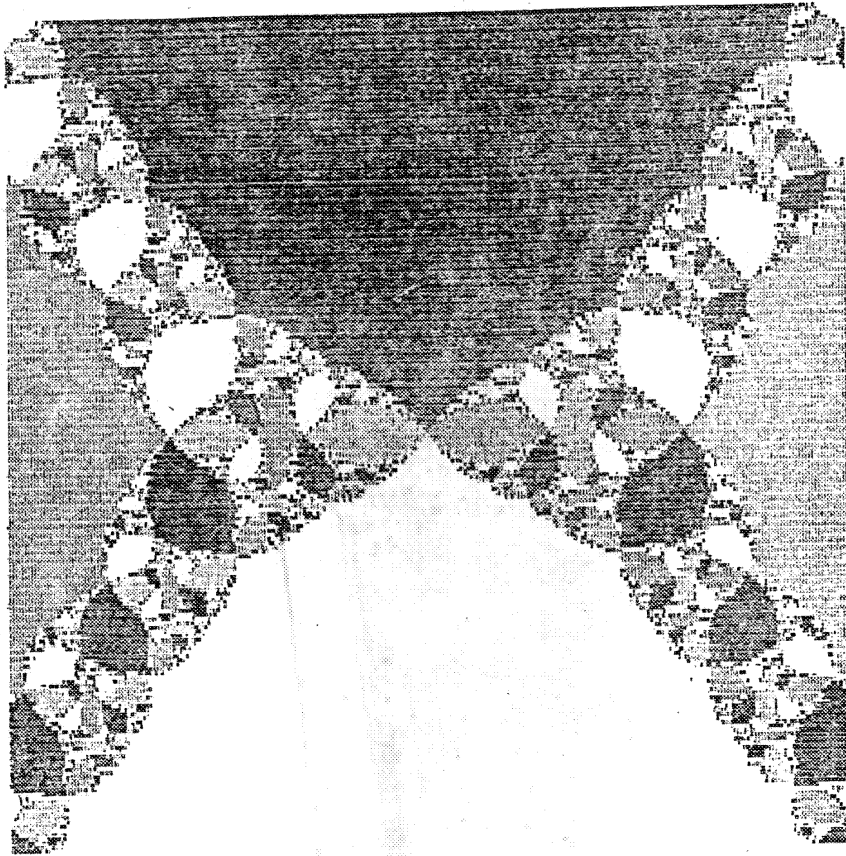
### 三、參考資料

(一)數學之內容方法與意義(二) 徐氏基金會出版

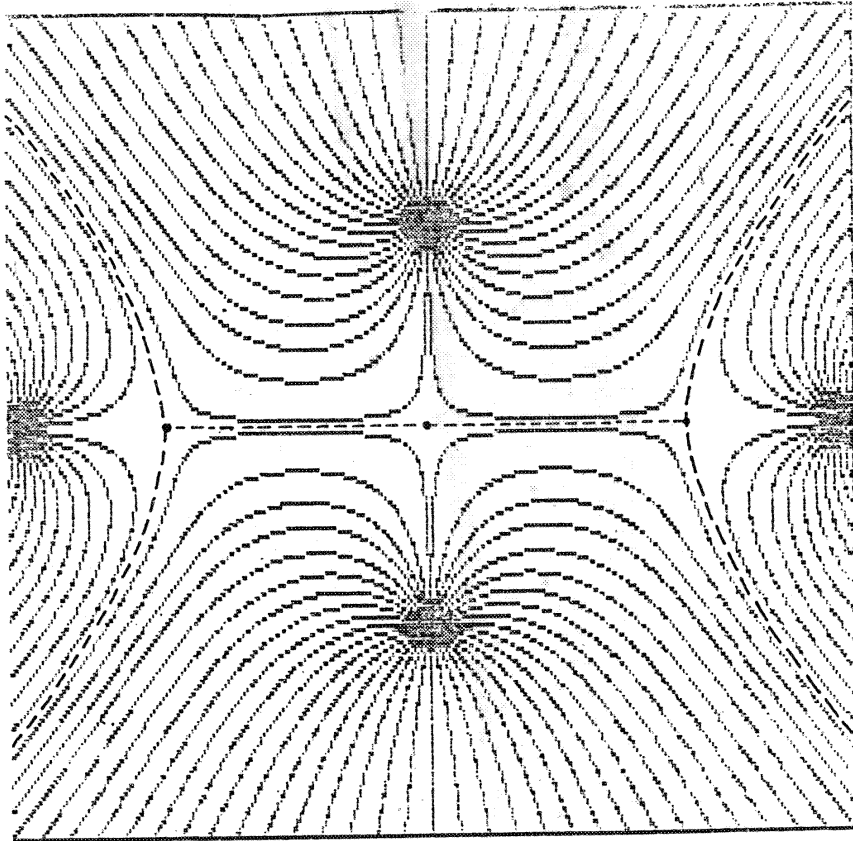
(二)牛頓第四十三期。

### 評語

運用  $|f(z)|^2$  的函數立體圖形，解釋牛頓法可以運用在多項式方程式求根的理由。具有優秀的幾何直覺。



$f(\alpha) = \alpha^4 - 3\alpha^2 - 4$  之碎形圖與陡線圖



利用電腦找尋在牛頓求根過程會產生的各種現象。用梯度向量的變化解釋各種現象產生的理由，從而對這些現象作了分類。

因此雖然沒有什麼漂亮的定理，但是的確是這種題材的漂亮的處理。

例如說：比牛頓雜誌所介紹的要好得多…！